

**КИЇВСЬКИЙ НАЦІОНАЛЬНИЙ УНІВЕРСИТЕТ  
ІМЕНІ ТАРАСА ШЕВЧЕНКА**

Факультет комп'ютерних наук та кібернетики  
Кафедра моделювання складних систем

«До захисту допущено»

Завідувач кафедри

Д. І. Черній

\_\_\_\_\_ (підпис)

«\_\_\_» \_\_\_\_\_ 20\_\_ р.

**Дипломна робота  
на здобуття ступеня бакалавра**

за спеціальністю Прикладна математика

на тему:

**ДОСЛІДЖЕННЯ РУХУ ТЕЧІЇ НАВКОЛО НЕРУХОМОЇ  
ПЕРЕШКОДИ. МОДЕЛЮВАННЯ ПОТЕНЦІАЛУ ТЕЧІЇ ТА РОЗПОДІЛУ  
ТИСКУ**

Виконала студентка 4 курсу  
Деренюк Анна Михайлівна

\_\_\_\_\_ (підпис)

Науковий керівник:  
доцент, кандидат фіз.-мат. наук  
Черній Дмитро Іванович

\_\_\_\_\_ (підпис)

Засвідчую, що в цій дипломній роботі  
немає запозичень з праць інших авторів без  
відповідних посилань.

Студент

\_\_\_\_\_ (підпис)

Київ – 2020

## РЕФЕРАТ

Обсяг роботи \* сторінок, \* ілюстрацій, \* джерел посилань.

Об'єктом роботи є процес моделювання процесу обтікання течією деякого контуру за допомогою програмного комплексу. Предметом роботи є програмний комплекс для розв'язування задач пов'язаних з цим процесом.

Метою роботи є розробка навчального програмного комплексу який дозволить досить точно відносно реальних процесів змодельовати процес обтікання контуру течією.

Методи розробки: комп'ютерне моделювання, методи обчислення, розробка програмного продукту на основі математичної моделі.

Використані інструменти: безкоштовне інтегроване середовище розробки, яке вільно поширюється, Visual Studio Code з розширенням для мови програмування Python, використані бібліотеки: matplotlib, numpy та система контролю версій – Git для коректного редагування коду програми.

Результати роботи: виконано огляд двох підходів, які дозволяють розв'язувати задачі аерогідродинаміки, розроблено програмний комплекс, який дозволяє наочно демонструвати обтікання тіла течією, обчислювати значення таких величин, як швидкість течії в точці, тиск та потенціал.

Створений програмний комплекс може застосовуватися в навчальному процесі під час вивчення фізичних процесів пов'язаних з обтіканням тіла рідиною або під час дослідження таких процесів.

## ВСТУП

## Зміст

Вступ .....	3
1 Опис процесу .....	5
2 Постановка задачі .....	6
3 Математична модель .....	7
4 Дискретна модель .....	9
4.1 Метод дискретних вихорів .....	9
4.1.1 Основні положення .....	9
4.1.2 Чисельний алгоритм .....	10
4.2 Метод дипольного представлення .....	14
4.2.1 Основні положення .....	14
4.2.2 Чисельний алгоритм .....	15
5 Результати моделювання .....	18
5.1 Моделювання векторного поля швидкостей .....	18
5.2 Моделювання потенціалу течії .....	19
5.3 Моделювання ліній течії .....	16
5.4 Зображення тиску .....	16
Висновок	
Джерела	

## **1 ОПИС ПРОЦЕСУ**

Процес відбувається на площині. Розглядаємо деяку деяку перешкоду, яка має фіксований контур. Також він є непроникним. Течія є розривною, циркуляційною та потенційною.

## 2 ПОСТАНОВКА ЗАДАЧІ

Маємо перешкоду, контур якої нагадує літеру «Л» (рисунок1). Необхідно змодельовати зображення значень тиску на площині, ліній течії та потенціалу.

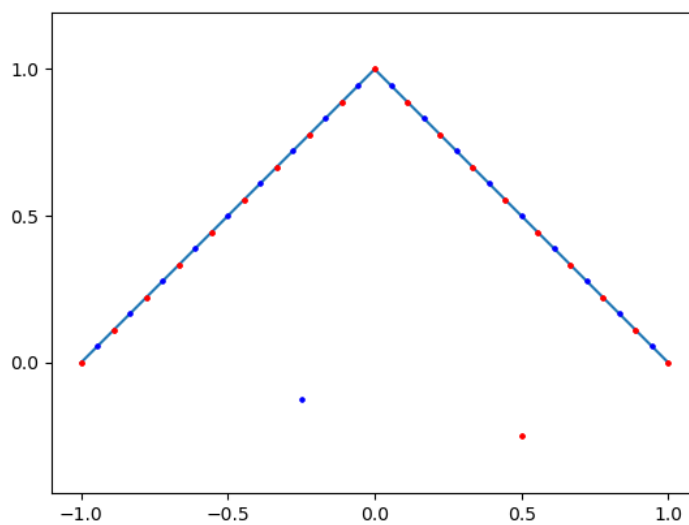


Рисунок 1 - Заданий контур

### 3 МАТЕМАТИЧНА МОДЕЛЬ

Оскільки течія потенційна, – існує потенціал:

$$\exists \phi = \phi(x, y)$$

Швидкість течії в кожній точці поля позначимо так:

$$\bar{V}(x, y) = (u(x, y), v(x, y))$$

Також для швидкості течії та потенціалу є співвідношення:

$$\nabla \phi = \bar{V}$$

Так, швидкість та потенціал задовольняють таким граничним умовам:

1.  $\Delta \phi = 0$  для усіх точок, окрім границь
2.  $\left. \frac{\partial \phi}{\partial n} \right|_{L_d} = 0$  – на контурі швидкість рівна нулю
3.  $\lim_{|R-R_L| \rightarrow \infty} \nabla \phi = \bar{V}_\infty$  - маємо деяке значення швидкості в нескінченно віддаленій від контура точці
4.  $\oint \bar{V} d\bar{r} = \Gamma_0$

Функція, що задає лінії течії, та потенціал пов'язані умовами Коші-Рімана:

$$\begin{cases} \frac{\partial \phi}{\partial x} = \frac{\partial \psi}{\partial y} \\ \frac{\partial \phi}{\partial y} = -\frac{\partial \psi}{\partial x} \end{cases}$$

де  $\phi$  - функція, що задає лінії течії, а  $\psi$  – потенціал.

Для розв'язку поставленої задачі будемо використовувати аналітичні функції:

$$\mathbb{C}: z = x + iy$$

$$\Phi(z) = \phi(x, y) + i\psi(x, y)$$

Розв'язок будемо розглядати для  $|\partial\Phi| < \infty$  на  $L(t)$ .



## 4 ДИСКРЕТНА МОДЕЛЬ

### 4.1 Метод дискретних особливостей

#### 4.1.1 Основні положення

Цей метод простий, алгоритмічний, а тому і широко застосовується в аерогідродинамічних задачах. Він базується на заміні неперервного вихрового шару, який моделює поверхню тіла, його дискретним аналогом. При цьому, інтегральне рівняння, яке відповідає даній крайові задачі, виконується в скінченій кількості контрольних точок. Так, ми можемо звести його до системи лінійних алгебраїчних рівнянь відносно інтенсивності дискретних вихорів.

Точність методу залежить від кількості дискретних вихорів (особливостей) і вибором розміщення вихорів та контрольних точок (точок коалюкації).

Поле швидкостей, що індукується вихорами, розраховується за законом Біо-Савара. Цей закон говорить наступне: в точці  $M_0$ , яка знаходиться на відстані  $\bar{r}$  від елемента вихрової лінії  $d\bar{s}$ , цей елемент індукує таку швидкість:

$$d\bar{V} = \frac{\Gamma}{4\pi} \frac{d\bar{s} \times \bar{r}}{r^3}$$

де  $\Gamma$  – інтенсивність вихрової лінії.

Отримане поле швидкостей у всьому просторі задовольняє умову нерозривності, не враховуючи самі дискретні вихори.

На нескінченно віддаленій відстані від вихорів швидкості затухають

### 4.1.2 Чисельний алгоритм

Розіб'ємо наш контур точками дискретних вихорів (дискретних особливостей): їх буде  $M$

$$M_j = (x_j, y_j), \quad j = \overline{1, M}$$

Між кожними двома вихорами розташуємо точку колокації:

$$(x_k, y_k)$$

$$\begin{cases} x_k = \frac{x_{k+1,0} + x_{k,0}}{2} \\ y_k = \frac{y_{k+1,0} + y_{k,0}}{2} \end{cases}$$

де  $k = \overline{1, M-1}$

Далі будуємо вектор  $\overline{\tau}_k$ :

$$\overline{\tau}_k = \left( \frac{x_{k+1} - x_k}{\sqrt{(x_{k+1} - x_k)^2 + (y_{k+1} - y_k)^2}}, \frac{y_{k+1} - y_k}{\sqrt{(x_{k+1} - x_k)^2 + (y_{k+1} - y_k)^2}} \right)$$

За його допомогою будуємо нормалі в кожній точці колокацій (рисунок 2):

$$\overline{n}_k = \overline{n}_k(x_k, y_k) = \overline{\tau}_k(-y_k, x_k)$$

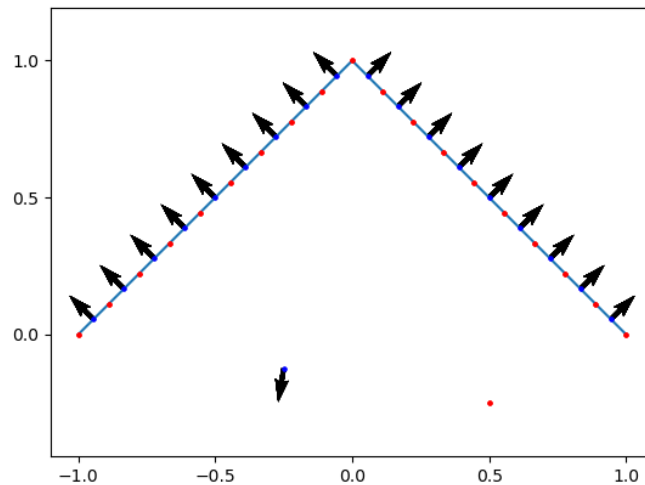


Рисунок 2 – Нормалі в точках колокацій

Потенціал шукається у такому вигляді:

$$\phi(x, y) = (x, y) \cdot \bar{V}_\infty + \sum_{j=0}^n \Gamma_j \phi_j(x, y, x_{0j}, y_{0j})$$

Відповідні функції у цій формулі визначаються таким чином:

$$\phi(x, y) = (x, y) \bar{V}_\infty + \sum_{j=0}^n \frac{\Gamma_j}{2\pi} \operatorname{arctg} \left( \frac{y - y_{0j}}{x - x_{0j}} \right)$$

Далі введемо такі функції:

$$u_j(x, y) = \frac{y_{0j} - y}{(x - x_j)^2 + (y - y_j)^2}$$

$$v_j(x, y) = \frac{x - x_{0j}}{(x - x_j)^2 + (y - y_j)^2}$$

Оскільки маємо співвідношення

$$\nabla \phi = \bar{V} \Rightarrow \nabla \phi_j = \bar{V}_j,$$

То для швидкості справедливі формули

$$\bar{V}_j(x, y, x_{0j}, y_{0j}) = \frac{1}{2\pi} (u_j(x, y), v_j(x, y))$$

$$\bar{V}(x, y) = \bar{V}_\infty + \sum_{j=0}^n \Gamma_j \bar{V}_j(x, y, x_{0j}, y_{0j})$$

Після того, як ми знайшли швидкість течії в точці, можемо перейти до знаходження значення тиску в цій точці. Для цього маємо наступну формулу:

$$C_p(x, y) = 1 - \frac{V^2(x, y)}{V_\infty^2}$$

Наступний крок – шукаємо лінії течії:

$$\psi(x, y) = \ln \left\{ \exp(u_{\infty}x - v_{\infty}y) \prod_{j=1}^M R_{oj}^{\frac{-\Gamma_j}{2\pi}} \right\}$$

Тут

$$R_0 = \begin{cases} (x - x_j)^2 + (y - y_j)^2, & (x - x_j)^2 + (y - y_j)^2 > \delta_j^2 \\ \delta_j^2, & (x - x_j)^2 + (y - y_j)^2 \leq \delta_j^2 \end{cases}$$

де  $\delta$  – дельта-окіл або ж характеристика вихору Ренкінса і обчислюється за наступною формулою:

$$\delta = \frac{1}{2} \sqrt{(x_{j+1} - x_j)^2 + (y_{j+1} - y_j)^2}$$

Тоді маємо наступне рівняння для кожної точки колокації:

$$\bar{V}(x_k, y_k) \times \bar{n}(x_k, y_k) = 0$$

де  $k = \overline{1, M-1}$

І нарешті маємо систему:

$$\sum_{i=0}^{n-1} \Gamma_i (\bar{V}_i(x_k, y_k) \bar{n}(x_k, y_k)) = -(\bar{V}_{\infty} \bar{n}(x_k, y_k))$$

Тут  $M - 1$  рівняння та  $M$  змінних. Доповнимо систему рівнянь ще одним рівнянням:

$$\Gamma_0 = \sum_{i=0}^{n-1} \Gamma_i = 0$$

Так, наша задача зводиться до роз'язання наступної системи відносно вектору інтенсивностей  $\Gamma$ :

$$\left\{ \begin{array}{l} \sum_{i=0}^{n-1} \Gamma_i (\bar{V}_i(x_k, y_k) \bar{n}(x_k, y_k) = -(\bar{V}_\infty \bar{n}(x_k, y_k)) \\ \Gamma_0 = \sum_{i=0}^{n-1} \Gamma_i = 0 \end{array} \right.$$

## **4.2 Метод дипольного представлення**

### **4.2.1 Основні положення**

Диполі – це так звані вихрові пари. В методі дискретних вихорів, незалежно від кількості дискретних вихорів, яку ми вибираємо, отримується система розривів значень функції, в більшості в зовнішній від контуру частині. Тому переходять до представлення у вигляді системи диполів та сумарного вихору. Умовно вважається, що лінія розрізу така, що співпадає з контуром перешкоди, формується з умовних розрізів між вихорами кожної пари.

### 4.2.2 Чисельний алгоритм

Отже, застосуємо дипольний підхід: розмістимо на контурі вихрові пари та пустимо між їх елементами розріз.

Варто зазначити, що інтенсивності кінців кожного із диполів будуть розподілятися таким чином:

$\Gamma_1, -\Gamma_1$  відповідно для першого диполя,

$\Gamma_1 + \Gamma_2, -\Gamma_1 - \Gamma_2$  для другого,

І так далі; тому для  $j$ -го будемо мати:

$$\sum_{i=1}^j \Gamma_i, -\sum_{i=1}^j \Gamma_i$$

І для останньої дискретної особливості будемо мати:

$$\sum_{i=1}^M \Gamma_i$$

Розглянемо дискретні особливості  $z_1, z_2$ . Нехай вони в одній вихровій парі. Тоді матимемо:

$$\Phi(z) = \frac{\Gamma}{2\pi} \ln(z - z_1) - \frac{\Gamma}{2\pi} \ln(z - z_2)$$

$$\Phi(z) = \frac{\Gamma}{2\pi} (\ln(z - z_1 - z_2 + z_2) - \ln(z - z_1)) \cdot \frac{-z_1 + z_2}{-z_1 + z_2}$$

Позначимо  $z^* = \frac{1}{2}(z_1 + z_2)$

$$\Phi(z) = \frac{\Gamma}{2\pi} (z_2 - z_1) \cdot \frac{1}{z - z^*}$$

Наступним кроком буде виділення уявної та дійсної частини і перехід до апроксимації інтегрального представлення у вигляді системи диполів та сумарного вихору:

$$\Phi(z) = \phi(x, y) + i\psi(x, y)$$

$$\Phi(z) = \bar{V}z + \frac{1}{2\pi i} \int_{L_{ab}} f(w) \ln(z - w) dw$$

$$\Phi(z) = \bar{V}_{\infty}z + \sum_{j=1}^{M-1} \frac{\sum_{k=1}^j \Gamma_k}{2\pi i} \{ \ln(z - z_{0j}) - \ln(z - z_{0j+1}) \} + \frac{\sum_{k=1}^M \Gamma_k}{2\pi i} \ln(z - z_{0M})$$

$$\Phi(z) = \bar{V}_{\infty}z + \sum_{j=1}^{M-1} \frac{\sum_{k=1}^j \Gamma_k (z - z_{0j})}{2\pi i (z - z_{0j}^*)} + \frac{\Gamma_0}{2\pi i} \ln(z - z_{0M})$$

Бачимо, що дійсна частина представляється сумою однозначних функцій з особливостями і одним багатозначним арктангенсом, що залежить від точки  $(x_{0M}, y_{0M})$ :

$$\begin{aligned} \phi(x, y) = \operatorname{Re}\Phi(z) = & u_{\infty}x + v_{\infty}y \\ & + \sum_{j=1}^{M-1} \frac{\sum_{k=1}^j \Gamma_k}{2\pi i} \frac{(x - x_{0j}^*)(y_{0j+1} - y_{0j}) - (y - y_{0j}^*)(x_{0j+1} - x_{0j})}{(x - x_{0j}^*)^2 + (y - y_{0j}^*)^2} \\ & + \frac{\sum_{k=1}^M \Gamma_k}{2\pi i} \operatorname{arctg} \frac{(y - y_{0M})}{(x - x_{0M})} \end{aligned}$$

Уявна ж частина представлена сумою вихрових пар та логарифму, також в точці  $(x_{0M}, y_{0M})$ :



$$\begin{aligned}
\psi(x, y) &= \text{Im}\Phi(z) \\
&= -u_{\infty}x + v_{\infty}y \\
&\quad + \sum_{j=1}^{M-1} \frac{\sum_{k=1}^j \Gamma_k (x_{0j+1} - x_{0j})(x - x_{0j}^*) + (y_{0j+1} - y_{0j})(y - y_{0j}^*)}{2\pi i (x - x_{0j}^*)^2 + (y - y_{0j}^*)^2} \\
&\quad - \frac{\sum_{k=1}^M \Gamma_k}{2\pi i} \ln((x - x_{0M})^2 + (y - y_{0M})^2)^{1/2}
\end{aligned}$$

## 5 РЕЗУЛЬТАТИ МОДЕЛЮВАННЯ

### 5.1 Моделювання векторного поля швидкостей

Для нашої задачі поле швидкостей матиме такий вигляд (рисунок 3):

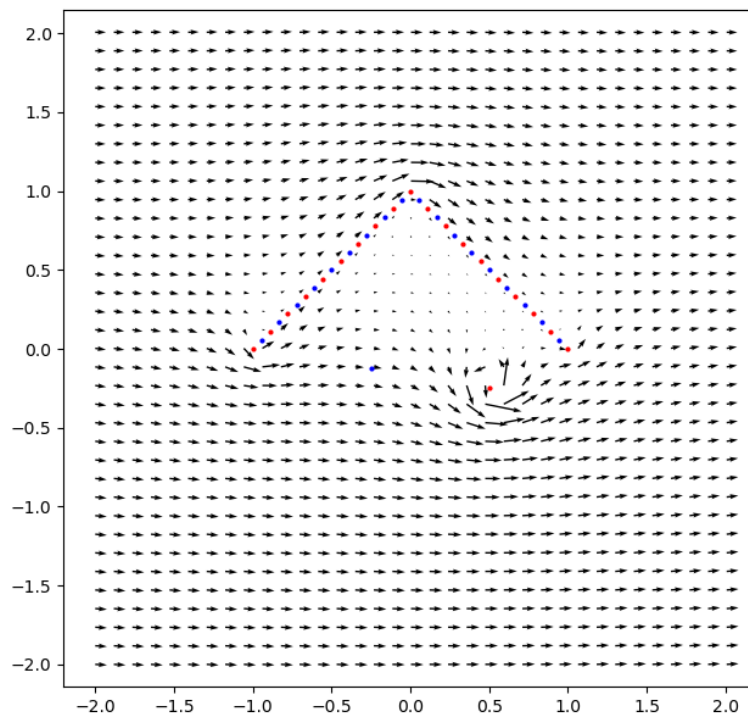


Рисунок 3 - Поле швидкостей для заданого контуру

## 5.2 Моделювання потенціалу течії

Вихровий підхід при  $\Gamma_0 = 1$ :

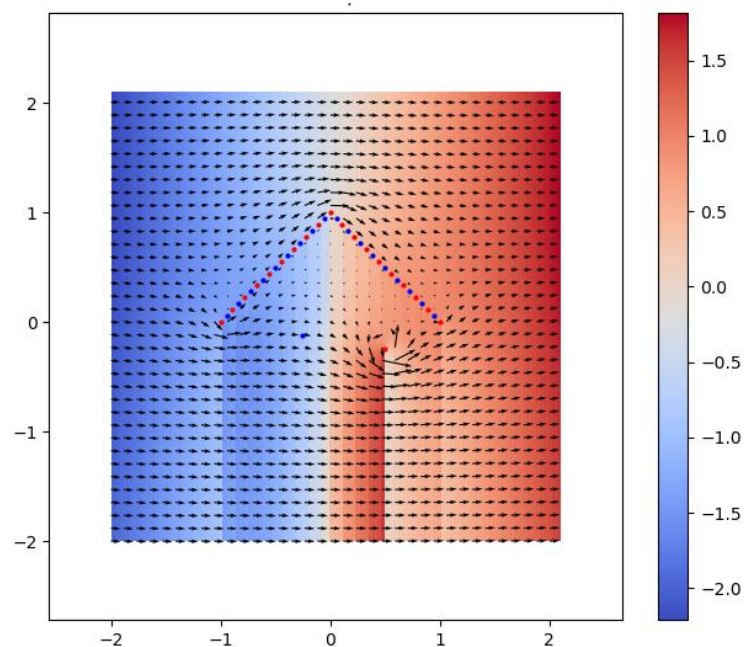


Рисунок 4 - Потенціал за допомогою вихрового підходу

Дипольне представлення при  $\Gamma_0 = 1$ :

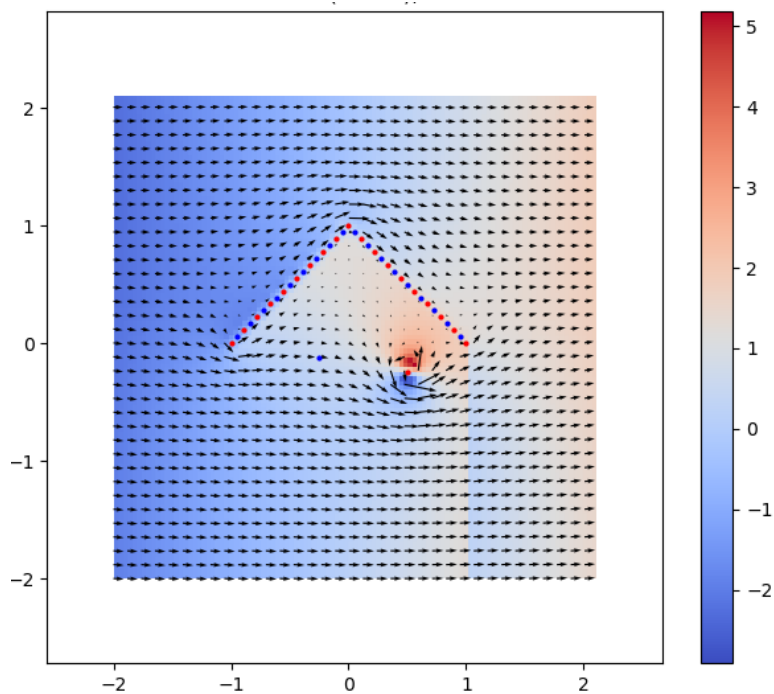


Рисунок 5 - Потенціал за допомогою дипольного підходу

Вихровий підхід при  $\Gamma_0 = 5$ :

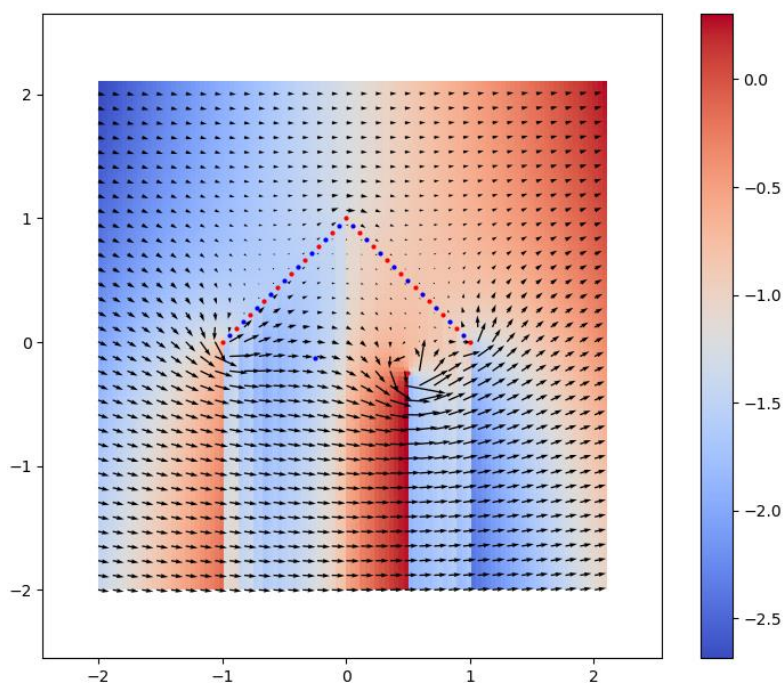


Рисунок 6 - Потенціал за допомогою вихрового підходу

Дипольне представлення при  $\Gamma_0 = 5$ :

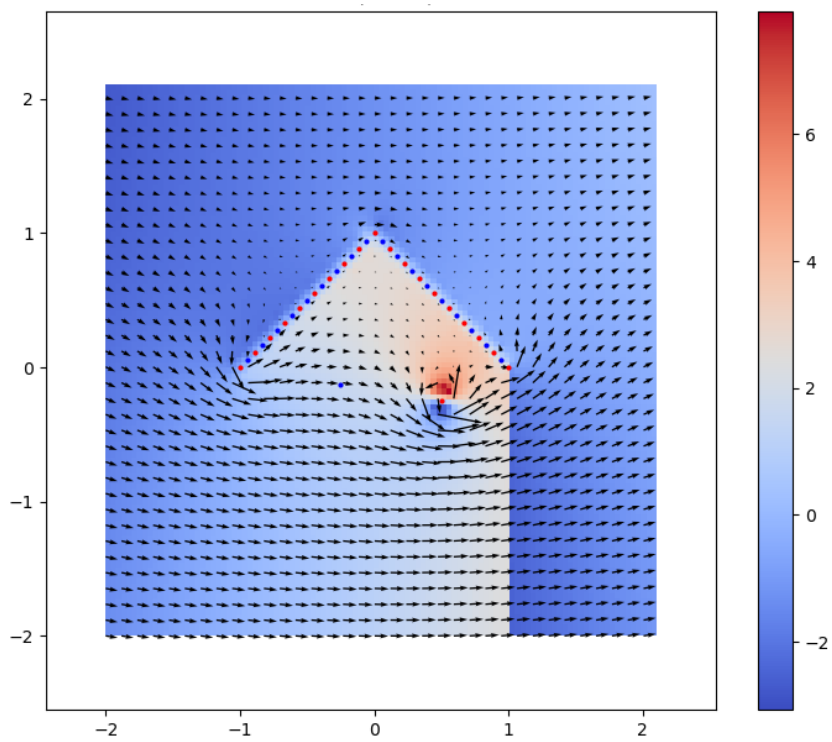


Рисунок 7- Потенціал за допомогою дипольного підходу

## 5.2 Моделювання ліній течії

$\Gamma_0 = 1$ :

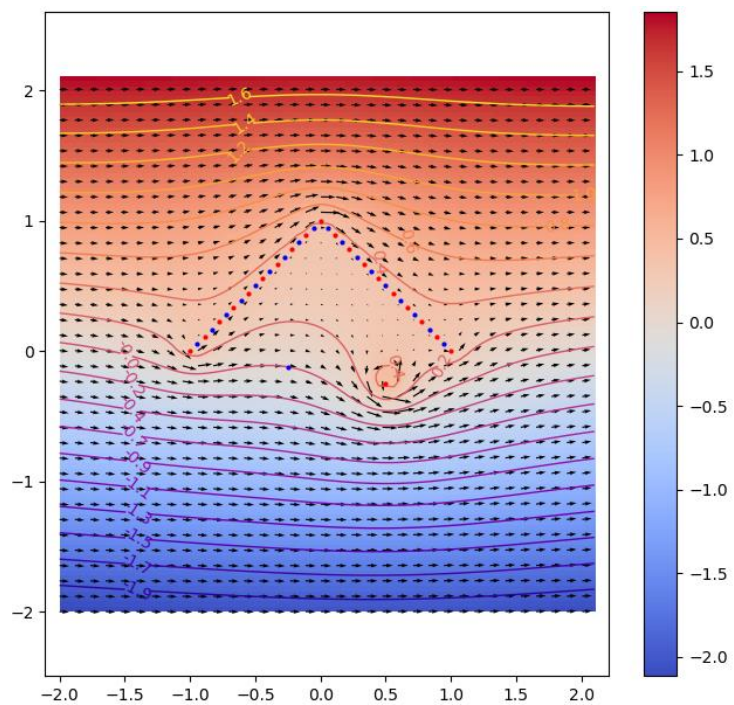


Рисунок 8 - Лінії течії

$\Gamma_0 = 5$ :

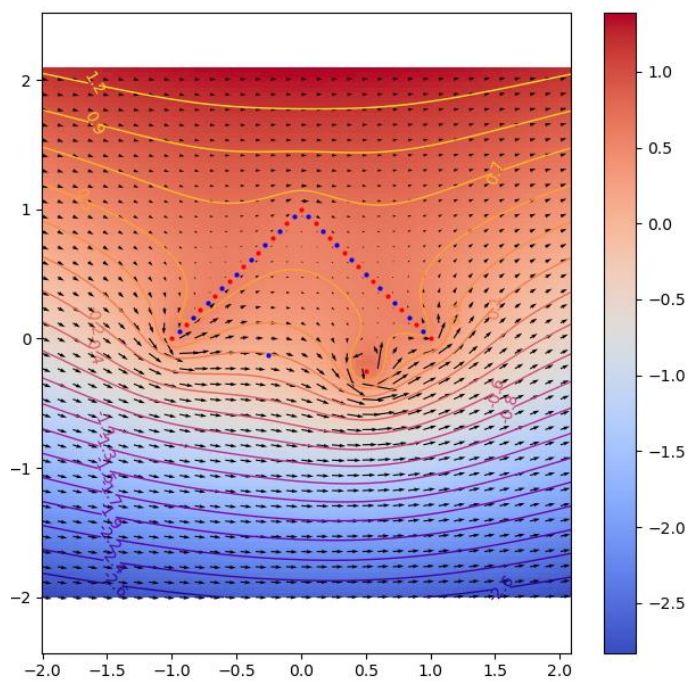


Рисунок 9 - Лінії течії



## 5.4 Зображення тиску

$\Gamma_0 = 1$ :

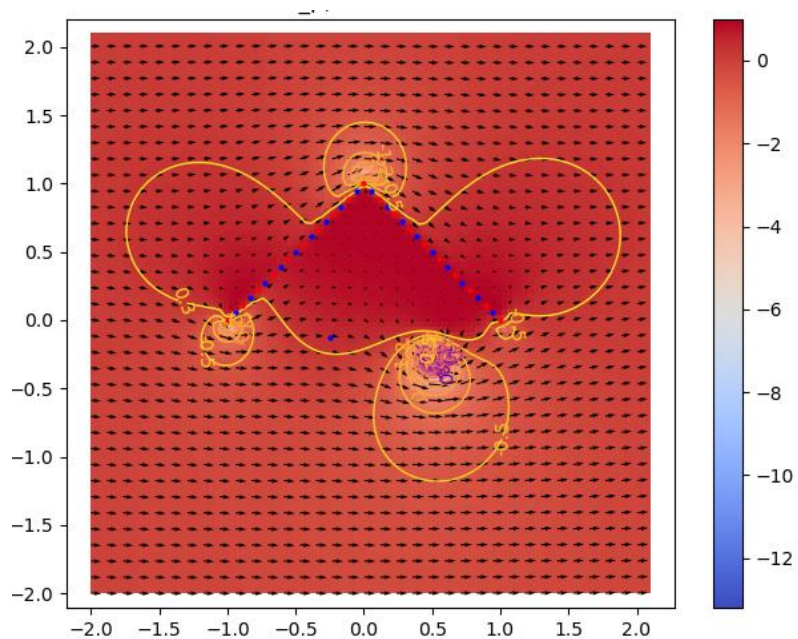


Рисунок 10 - Тиск

$\Gamma_0 = 5$ :

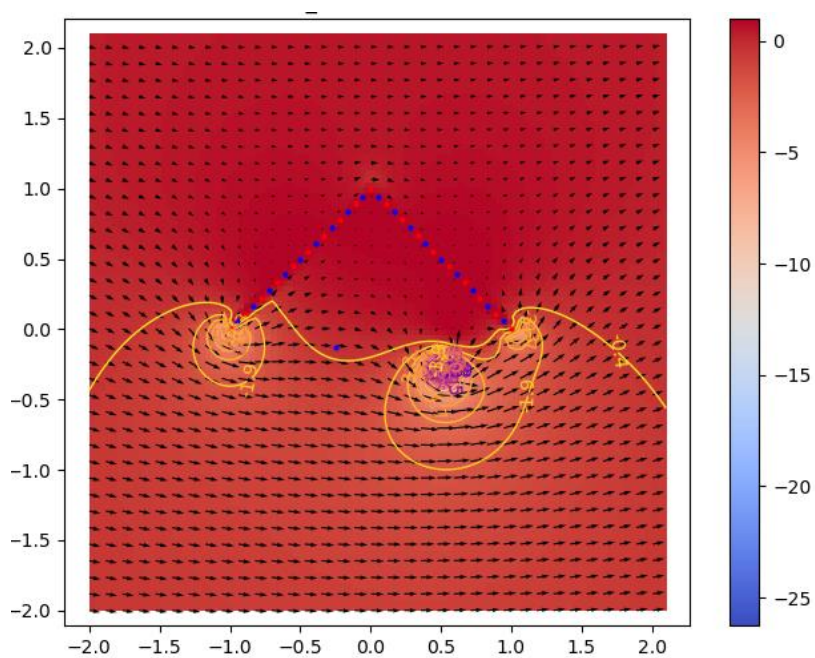


Рисунок 11- Тиск



## **ВИСНОВОК**



## **ДЖЕРЕЛА**